

# 全反式视黄酸对 CIA 大鼠血清炎性细胞因子及软骨损伤相关蛋白表达的影响\*

谢雪健<sup>1</sup>, 申雨燕<sup>1</sup>, 宋杰<sup>1</sup>, 钟灵毓<sup>1,2</sup>, 宁艳花<sup>1</sup>, 曾香<sup>1</sup>,  
单靖焱<sup>1</sup>, 刘杨<sup>1</sup>, 朱彦锋<sup>3</sup>, 李云<sup>1△</sup>

1. 四川大学华西公共卫生学院 营养食品卫生与毒理学系(成都 610041);  
2. 西藏自治区人民政府驻成都办事处医院 营养科(成都 610041); 3. 成都医学院 公共卫生系(成都 610500)

**【摘要】目的** 探讨全反式视黄酸(ATRA)对胶原诱导的类风湿关节炎模型大鼠(CIA 大鼠)关节炎症反应、炎性相关细胞因子及软骨损伤相关蛋白表达的影响。**方法** 将雌性 Wistar 大鼠随机分为空白对照组和造模组, 造模组采用牛 C II 型胶原和不完全弗氏佐剂诱导关节炎。造模成功后, 将模型鼠随机分为 CIA 模型组和 ATRA 治疗组。ATRA 治疗组给予不同剂量( $0.50 \text{ mg/kg}$ 、 $1.00 \text{ mg/kg}$ )的 ATRA 腹腔注射, 3 次/周, 连续治疗 6 周。空白对照组给予等体积的生理盐水, CIA 模型组给予等体积玉米油。观察 CIA 大鼠关节炎指数(AI)评分、血清炎性相关细胞因子的水平、膝和踝关节组织病理形态学改变及软骨损伤相关蛋白的表达。**结果** ATRA 干预 6 周后, 不同剂量 ATRA 治疗组 AI 评分与 CIA 模型组相比, 差异均无统计学意义( $P > 0.05$ ); HE 染色示, CIA 模型组和 ATRA  $1.00 \text{ mg/kg}$  剂量组膝、踝关节结构紊乱, ATRA  $0.50 \text{ mg/kg}$  剂量组膝关节结构有所改善。此外, 与 CIA 模型组相比, ATRA 可抑制促炎细胞因子干扰素-γ、肿瘤坏死因子-α、白介素-17A 的分泌( $P < 0.05$ ), 促进白介素-4 的分泌( $P < 0.05$ ); 下调解整链蛋白金属蛋白酶(ADAMTS)-4、基质金属蛋白酶(MMP)3、MMP1 的表达( $P < 0.05$ )。**结论** ATRA 可在一定程度上抑制促炎因子分泌, 纠正 Th1/Th2 及 Th17/Treg 失衡, 并抑制软骨损伤相关酶类的蛋白表达, 对类风湿关节炎有潜在的有利影响。

**【关键词】** 类风湿关节炎 CIA 模型 全反式视黄酸

**The Effects of All-trans Retinoic Acid on the Expression of Inflammatory Cytokines and Cartilage Damage Related Protease in Rats with Collagen Induced Arthritis** XIE Xue-jian<sup>1</sup>, SHEN Yu-yan<sup>1</sup>, SONG Jie<sup>1</sup>, ZHONG Ling-yu<sup>1,2</sup>, NING Yan-hua<sup>1</sup>, ZENG Xiang<sup>1</sup>, SHAN Jing-yan<sup>1</sup>, LIU Yang<sup>1</sup>, ZHU Yan-feng<sup>3</sup>, LI Yun<sup>1△</sup>. 1. Department of Nutrition and Food Hygiene, West China School of Public Health, Sichuan University, Chengdu 610041, China; 2. Department of Nutrition, Hospital of Chengdu Office of People's Government of Tibet Autonomous Region, Chengdu 610041, China; 3. Department of Public Health, Chengdu Medical College, Chengdu 610500, China

△ Corresponding author, E-mail: liyun\_611@163. Com

**【Abstract】Objective** To investigate the effects of all-trans retinoic acid (ATRA) on arthritis and the expressions of inflammatory cytokines and cartilage damage related proteases of the collagen-induced arthritis model (CIA) rats *in vivo*. **Methods** The CIA model of rheumatoid arthritis was induced with C II and incomplete Freund's adjuvant. The rats were randomly divided into control group, CIA model group and two ATRA dose groups (ATRA  $0.50 \text{ mg/kg}$  group and ATRA  $1.00 \text{ mg/kg}$  group). ATRA were given three times per week for six weeks in ATRA groups. Morphological changes, arthritis index (AI) scores, the semi-quantitative scores of pathology damage, the protein expressions of cartilage damage related proteases and the serum levels of TNF-α, IL-17A, IFN-γ, IL-4, IL-10 were observed. **Results** The AI scores of ATRA groups were similar to CIA model group ( $P < 0.05$ ). Apparent morphological disorders in knee and ankle joints were observed in the CIA model group and ATRA  $1.00 \text{ mg/kg}$  group. The structure of knee joint was improved slightly in ATRA  $0.50 \text{ mg/kg}$  group. The serum levels of TNF-α, IFN-γ and IL-17A were decreased in both ATRA groups; ATRA also can increase the serum level of IL-4. Compared to CIA model group, the protein expressions of ADAMTS-4, MMP3, MMP1 were decreased in both ATRA groups ( $P < 0.05$ ). **Conclusion** ATRA, which was able to inhibit pro-inflammatory cytokines secretion, could correct the imbalance of Th1/Th2 and Th17/Treg. ATRA also can reduce the expressions of cartilage damage related proteases, which proved that ATRA may have a beneficial effect on rheumatoid arthritis.

**【Key words】** Rheumatoid arthritis CIA model ATRA

\* 国家自然科学基金(No. 81372983)和四川省教育厅自然科学项目(No. 14ZB235)资助

△ 通信作者, E-mail: liyun\_611@163. com

类风湿关节炎(rheumatoid arthritis, RA)是一种常见的自身免疫性疾病,其病因及发病机制尚未明确。据报道,RA 患者血清中的视黄醇含量较低<sup>[1]</sup>,而全反式视黄酸(all-trans retinoic acid, ATRA)干预对 CIA 小鼠关节炎有一定的缓解作用<sup>[2]</sup>。研究发现,ATRA 通过下调 T 细胞转录因子 T-bet(T-box expressed in T cells)的表达抑制 Th1 细胞的分化,上调 GATA 连接蛋白-3(GATA-binding protein-3, GATA3)和巨噬细胞激活因子(macrophage activating factor, MAF)的表达促进 Th2 细胞的分化<sup>[3]</sup>;通过下调维甲酸相关孤儿受体  $\gamma$ t(RAR-related orphan receptor gamma t, ROR $\gamma$ t)的表达抑制 Th17 细胞的分化,上调叉状头/翅膀状螺旋转录因子(forkhead box P3, FOXP3)的表达促进 FOXp3-Treg 细胞表达<sup>[4]</sup>。据此,本研究给予 CIA 大鼠不同剂量的 ATRA 处理,观察 ATRA 对 Th1/Th2 和 Th17/Treg 平衡的影响,探讨 ATRA 对 RA 影响的作用机制。

## 1 材料与方法

### 1.1 实验动物

SPF 级健康 Wistar 雌性大鼠,7~8 周龄,体质量(220±20)g,由达硕实验动物中心供给,动物合格证号为 SCXK(川)2013-24。

### 1.2 主要试剂

牛 C II 型胶原(C II)和不完全弗氏佐剂(IFA)(美国 Chondrex);Aladdin 玉米油(上海晶纯生化);ATRA(美国 Sigma);测干扰素- $\gamma$ (IFN- $\gamma$ )、肿瘤坏死因子- $\alpha$ (TNF- $\alpha$ )、白介素-4(IL-4)、白介素-10(IL-10)、白介素-17A(IL-17A)的 5 种 ELISA 试剂盒均购自美国 eBioscience 公司;抗解整链蛋白金属蛋白酶(ADAMTS)-4 抗体(武汉博士德);抗基质金属蛋白酶(MMP)3 抗体(Abcam);抗 MMP-1 抗体(Abnova);抗金属蛋白酶组织抑制因子(TIMP)-1 抗体(Biorbyt);胃蛋白酶(Invitrogen);PV-9001 超敏二步法免疫组化检测试剂盒、SP-9001 生物素-链霉卵白素免疫组化试剂盒和 ZLI-9033 浓缩型 DAB 试剂盒均购自北京中杉金桥;其它化学试剂均为国产分析纯。

### 1.3 主要仪器

手持匀浆器(德国 IKA);ICC50 HD 显微镜(德国 Leica);低温冷冻离心机(美国 ThermoFisher);酶标仪(美国 BIO-RAD)。

### 1.4 方法

**1.4.1 CIA 大鼠造模** 将大鼠按体质量随机分两组,即空白对照组(8 只)和造模组(36 只)。参考赵宏艳等<sup>[5]</sup>的造模方法,将等体积的牛 C II 溶液(5 mL)和等体积的 IFA(5 mL)充分混匀制成造模乳剂,并置于冰盒中低温暂存。造模组大鼠尾根部皮下注射造模乳剂,每只 200  $\mu$ L。将初次免疫记为第 1 天。加强免疫在第 8 天进行,在距尾根部 3 cm 处进行皮下注射,每只大鼠注射造模乳剂 100  $\mu$ L。空白对照组采用相同方法注射等量的生理盐水。在初次免疫的第 14 天对大鼠进行关节炎指数(AI)评分, AI 评分>4 分即为造模成功。

**1.4.2 实验分组** 将造模成功的大鼠按症状严重程度排序,随机分为 CIA 模型组和 2 个 ATRA 组(0.50 mg/kg、1.00 mg/kg),每组 8 只。将 ATRA 溶于玉米油,配置成 0.625 mg/mL 以及 1.25 mg/mL 的工作油剂,于初次免疫后第 22 天,ATRA 组分别给予 ATRA 0.50 mg/kg 和 1.00 mg/kg 腹腔注射<sup>[6]</sup>,3 次/周,连续 6 周。空白对照组给予等体积生理盐水,CIA 模型组给予等体积玉米油。

**1.4.3 AI 评分** 加强免疫后每日观察并记录大鼠四肢的关节病变情况,在初次免疫后第 14 天,参照 AI 5 级积分法<sup>[7]</sup>对大鼠进行 AI 评分,之后在 ATRA 开始治疗(初次免疫后第 22 天)和治疗结束(初次免疫后第 63 天)分别进行 AI 评分,采用双人单独评分,并取平均值进行统计分析<sup>[2]</sup>。

**1.4.4 ELISA 法测定炎性相关细胞因子水平** 收集的血液于室温放置 2~3 h,随后放入低温离心机,3 000 r/min 离心 10 min 后取上层血清,分装后于-20 °C 冻存备用。采用 ELISA 法(按试剂盒说明书操作)测定炎性相关细胞因子即 IL-4、IL-10、IFN- $\gamma$ 、TNF- $\alpha$ 、IL-17A 的表达水平。

**1.4.5 组织形态学观察** 于初次免疫后第 65 天,用 30 g/L 戊巴比妥钠,按照 40 mg/kg 进行腹腔麻醉,取血后处死。取双侧膝、踝关节,去除皮肤及肌肉组织后置于体积分数为 10% 的甲醛中固定。常规石蜡包埋、切片、HE 染色,光镜下观察关节滑膜、软骨、骨的改变。

**1.4.6 关节炎病理损伤半定量评分** 光镜下观察 HE 染色切片,同一个样本在多个视野及不同倍数下,按照 Masakazu 分级法(5 级)<sup>[7]</sup>对膝关节和踝关节病理损伤进行总体半定量评分,并参照关节滑膜炎评分标准<sup>[8]</sup>对大鼠滑膜炎进行半定量评分。评分均采用双人单独评分,取平均值进行统计分析。

**1.4.7 免疫组化法测定滑膜炎、软骨破坏相关蛋白的表达水平** 采用SP二步法测定ADAMTS-4蛋白的表达,采用PV二步法测定MMP3、MMP1、TIMP-1蛋白的表达,操作过程参照试剂盒说明书。用PBS将一抗稀释至需要的浓度,4种抗体稀释倍数分别为:ADAMTS-4,1:400;MMP3,1:200;MMP1,1:100;TIMP-1,1:200。免疫组化实验结束后,使用Image-Pro Plus 6.0图像处理软件进行染色区域光密度分析,将染色强度和面积转化成积分光密度(IOD)值。以IOD值反映蛋白的表达水平。

**1.4.8 统计学方法** 数据均以 $\bar{x} \pm s$ 表示。多组间比较采用单因素方差分析,组间两两比较采用LSD法,方差不齐时用Games-Howell校正;重复测量的数据采用重复测量资料的方差分析,组间两两比较用LSD法。 $P < 0.05$ 为差异有统计学意义。

## 2 结果

### 2.1 造模情况

造模组大鼠在第10天开始出现踝关节或趾关节红肿。于第14天左右开始进入出模高峰期,症状表现为关节红肿,后足踝受累严重(图1)、部分大鼠前爪受累,出模大鼠行走不便、活动受限。与空白对照组大鼠相比,造模组大鼠体质量增长缓慢,毛发光泽度减弱,情绪易暴躁、攻击性增强。36只造模组大鼠中,共成模25只,成模率约70%,取其中24只大鼠进行后续实验。

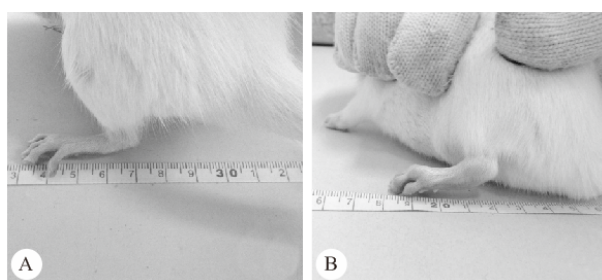


图1 正常大鼠和CIA大鼠

Fig 1 Normal and CIA rats

A: Normal rat; B: CIA model rat

### 2.2 ATRA对AI评分的影响

由表1可见,治疗前后,CIA模型组和两个ATRA组AI评分均高于空白对照组( $P < 0.05$ );ATRA 0.50 mg/kg组、ATRA 1.00 mg/kg组AI评分与CIA模型组相比,差异均无统计学意义( $P > 0.05$ )。

### 2.3 ATRA对炎性相关细胞因子水平的影响

由表2可见:与空白对照组相比,CIA模型组TNF- $\alpha$ 、IFN- $\gamma$ 、IL-17A水平增高( $P < 0.05$ ),而IL-4水平降低( $P < 0.05$ )。与CIA模型组相比,TNF- $\alpha$ 、IFN- $\gamma$ 水平在两个ATRA组均降低( $P < 0.05$ ),IL-17A水平仅在ATRA 1.00 mg/kg组下调( $P < 0.05$ ),IL-4水平在两个ATRA组均升高( $P < 0.05$ ),且ATRA 1.00 mg/kg组的回升效果优于ATRA 0.50 mg/kg组( $P < 0.05$ )。IL-10表现出与IL-4相似的趋势,但差异无统计学意义( $P > 0.05$ )。

表1 ATRA治疗前后大鼠的关节炎指数( $n=8$ )

Table 1 AI scores of rats before and after treatments ( $n=8$ )

Group	Before treatment	After treatment
Control	0	0
CIA	$8.3 \pm 1.2^*$	$5.3 \pm 2.0^*$
ATRA 0.50 mg/kg	$9.2 \pm 2.4^*$	$5.7 \pm 1.1^*$
ATRA 1.00 mg/kg	$9.6 \pm 1.5^*$	$6.1 \pm 0.7^*$

\*  $P < 0.05$ , vs. control group

### 2.4 组织形态学观察结果

光镜下观察实验大鼠膝关节、踝关节HE染色切片结果见图2。空白对照组:膝、踝关节和滑膜组织结构正常,无血管翳形成,关节软骨面光滑完整,关节腔间隙正常。CIA模型组:膝、踝关节结构严重紊乱,滑膜组织增生明显,可见大量的炎性细胞浸润,增生的滑膜组织向软骨面爬行形成血管翳,骨侵蚀情况严重。关节软骨面结构被破坏,表面剥脱,关节腔间隙缩小。ATRA 0.50 mg/kg组:膝关节结构基本正常,滑膜组织可见炎性细胞浸润,纤维组织增生形成血管翳,可见骨侵蚀情况。软骨细胞排列失序,软骨下骨小梁结构疏松,关节腔内可见剥脱的软骨及滑膜组织。ATRA 1.00 mg/kg组:膝关节结构紊乱,增生的滑膜组织形成血管翳,血管翳覆盖下的软骨组织结构消失,可见骨侵蚀情况,关节腔间隙缩小。

### 2.5 ATRA对关节病理损伤的影响

由表3可见,与空白对照组相比,CIA模型组膝、踝关节的滑膜炎评分和Masakazu评分均增加( $P < 0.05$ );与CIA模型组相比,ATRA 0.50 mg/kg组的膝关节滑膜炎评分和Masakazu评分均降低( $P < 0.05$ ),ATRA两剂量组间的差异则无统计学意义( $P > 0.05$ )。

### 2.6 ATRA对软骨破坏相关蛋白表达水平的影响

由表4和图3可见,ADAMTS-4、MMP3、MMP1及TIMP-1在空白对照组的软骨细胞层及滑膜组织中表达水平很低,偶见弱阳性染色,而在CIA模型组和两个ATRA组的表达水平较高,阳

表 2 ATRA 对细胞因子水平的影响/(pg/mL)

Table 2 The effect of ATRA on cytokine levels/(pg/mL)

Group	n	IL-4	IFN-γ	IL-10	TNF-α	IL-17A
Control	8	3.51±0.26	21.95±1.94	57.01±20.48	20.96±1.15	3.99±1.29
CIA	8	3.16±0.16*	27.27±3.63*	38.23±9.18	23.80±1.75*	7.00±2.93*
ATRA 0.50 mg/kg	8	3.42±0.13#	20.78±2.31#	45.33±24.29	22.10±1.92#	4.56±0.60
ATRA 1.00 mg/kg	8	3.68±0.18#▲	22.19±1.90#	49.67±17.80	21.41±1.27#	4.07±2.73#

\* P<0.05, vs. control group; # P<0.05, vs. CIA group; ▲P<0.05, vs. ATRA 0.50 mg/kg group

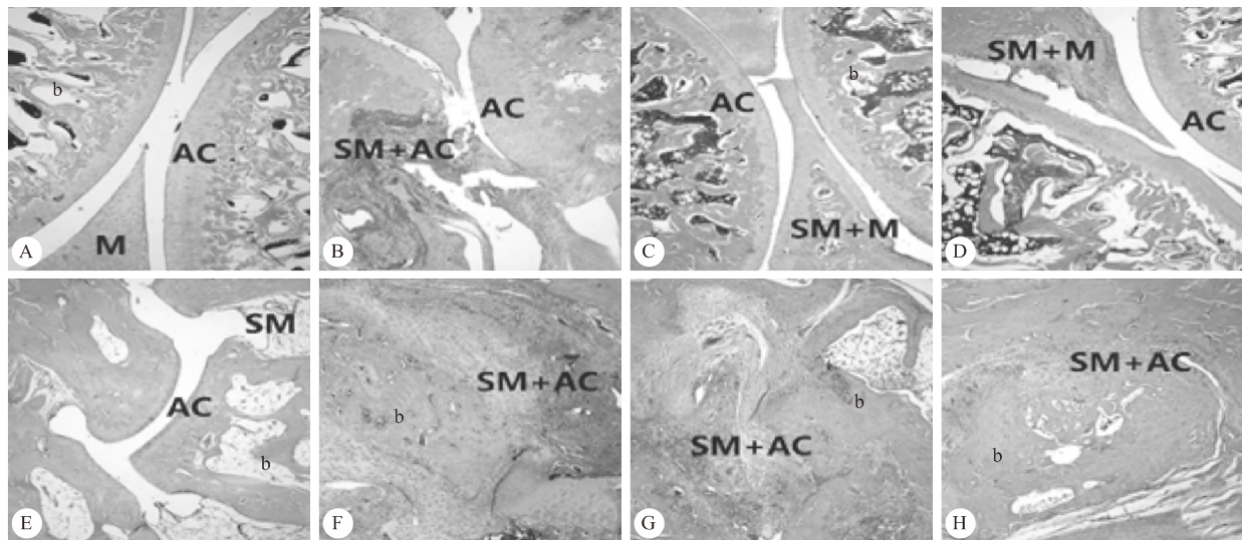


图 2 大鼠膝关节和踝关节 HE 染色。×40

Fig 2 Rat knee joints and ankle joints stained with HE. ×40

A-D: Control group, CIA group, ATRA 0.50 mg/kg group and ATRA 1.00 mg/kg group of knee; E-H: Control group, CIA group, ATRA 0.50 mg/kg group and ATRA 1.00 mg/kg group of ankle. b: Bone; M: Meniscus; AC: Articular cartilage; SM: Synovial membrane; SM+AC: Pannus and cartilage binding region; SM+M: Pannus and meniscal cartilage binding region

表 3 ATRA 对关节病理损伤评分的影响

Table 3 The effects of ATRA on joint pathological damage scores

Group	n	Masakazu score of knee	Masakazu score of ankle	Synovitis score of knee	Synovitis score of ankle
Control	8	0	0	0	0
CIA	8	3.3±0.6*	3.6±0.4*	2.8±0.3*	2.9±0.2*
ATRA 0.50 mg/kg	8	2.4±0.7#	3.4±0.4	1.9±0.8#	2.6±0.4
ATRA 1.00 mg/kg	8	2.8±0.7	3.6±0.4	2.3±0.8	2.7±0.4

\* P<0.05, vs. control group; # P<0.05, vs. CIA group

性染色定位于软骨细胞及滑膜组织, 呈棕黄色。与空白对照组相比, CIA 模型组 ADAMTS-4、MMP3 及 MMP1 的表达水平增高( $P<0.05$ ), 滑膜组织以

及滑膜侵蚀软骨界面可见大量阳性染色。与 CIA 模型组相比, ADAMTS-4、MMP3、MMP1 在两个 ATRA 组的表达水平下调( $P<0.05$ ), TIMP-1

表 4 ATRA 对软骨损伤相关蛋白 IOD 值的影响

Table 4 Effects of ATRA on IOD values of cartilage damage related proteases

Group	n	ADAMTS-4	MMP3	MMP1	TIMP-1
Control	8	0.053±0.001	0.045±0.009	0.067±0.007	0.066±0.013
CIA	8	0.081±0.005*	0.074±0.007*	0.095±0.005*	0.076±0.055
ATRA 0.50 mg/kg	8	0.062±0.007*#	0.060±0.007*#	0.079±0.007*#	0.068±0.011
ATRA 1.00 mg/kg	8	0.064±0.004*#	0.062±0.009*#	0.082±0.011*#	0.074±0.007

\* P<0.05, vs. control group; # P<0.05, vs. CIA group

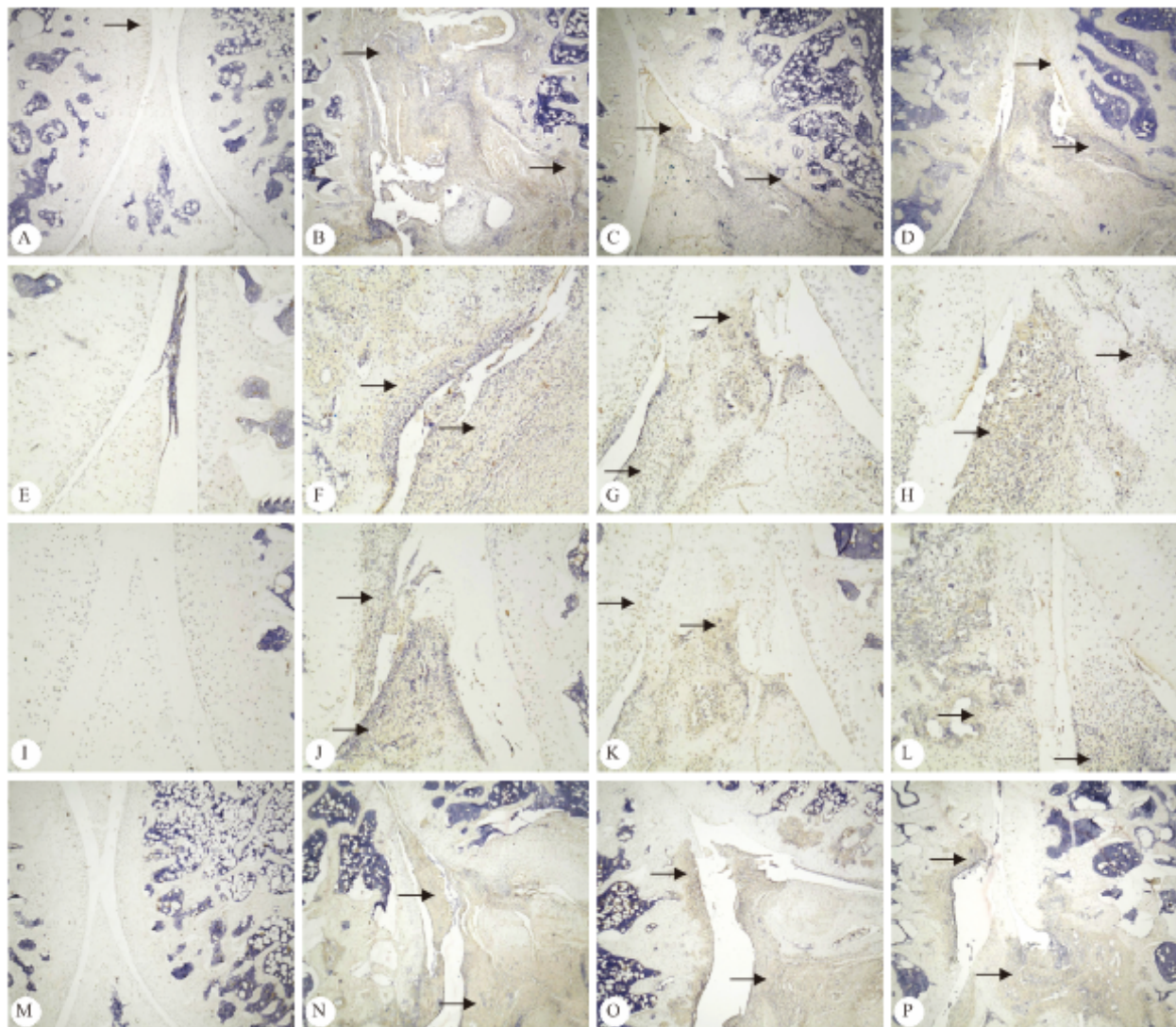


图3 ATRA对大鼠蛋白表达的影响。免疫组化染色

Fig 3 The effects of ATRA on protein expressions in rats. Immunohisto chemical staining

A-D: ADAMTS-4,  $\times 40$ ; E-H: MMP1,  $\times 100$ ; I-L: MMP3,  $\times 40$ ; M-P: TIMP-1,  $\times 40$ . A, E, I, M: Control group; B, F, J, N: CIA group; C, G, K, O: ATRA 0.50 mg/kg group; D, H, L, P: ATRA 1.00 mg/kg group. Black arrow: Positive staining

的表达水平有类似的趋势,但4组间差异无统计学意义( $P>0.05$ )。两个ATRA组之间各蛋白表达水平差异均无统计学意义( $P>0.05$ )。

### 3 讨论

CIA模型是利用CII作为免疫原,依赖T细胞和B细胞激活,诱导机体产生关节炎自身免疫反应。CIA病理改变包括滑膜炎、血管翳形成、纤维化、软骨及骨侵蚀等典型的类风湿关节炎病理特征。此外,CIA大鼠模型还与人RA有许多相似之处,如CIA雌性个体具有高度易感性,与女性易发病的情况相似;细胞免疫和体液免疫变化明显,可表达

TNF- $\alpha$ 、IL-1 $\beta$ 等促炎细胞因子,是目前公认的研究RA最佳动物模型<sup>[9]</sup>。本研究利用Wistar雌鼠尾根部注射牛CII和IFA建立CIA大鼠模型,第14天进入出模高峰期,出模大鼠多为后足红肿、部分大鼠前爪受累,活动受限。HE染色结果显示,与空白对照组相比,CIA模型组大鼠的膝、踝关节结构严重紊乱,其膝、踝关节的滑膜炎评分及Masakazu评分亦显著增加,进一步说明模型鼠建模成功。

KOWK等<sup>[2]</sup>的研究结果显示0.50 mg/kg的ATRA对CIA小鼠临床症状有明显的改善作用,而本实验中ATRA两剂量组在干预结束时(初次免疫后第63天)AI评分与CIA模型组相比差异均无统

计学意义,未能改善 RA 的临床症状,与其研究结果不一致,原因可能跟实验动物的种属差异有关。但与 CIA 模型组相比,ATRA 0.50 mg/kg 组膝关节的滑膜炎评分、Masakazu 评分降低( $P < 0.05$ ),提示 ATRA 能减轻 CIA 大鼠膝关节的病理损伤,与 KOWK 等的研究结果类似。

近些年来,T 细胞活化及相关细胞因子的产生逐渐被认为是 RA 的重要发病机制之一<sup>[10]</sup>。RA 的特征之一正是 Th1/Th2 平衡向 Th1 方向倾斜,Th1 分泌 IFN-γ、TNF-α 等 I 型细胞因子,参与机体迟发型超敏反应<sup>[11]</sup>。Th2 分泌 IL-4、IL-10 等 II 型细胞因子,参与体液免疫<sup>[12]</sup>。Th17/Treg 平衡也与 RA 发病有关,RA 患者的 Th17 水平显著增加,并且与滑膜炎的严重程度直接相关<sup>[13]</sup>。RA 患者外周血中,Treg 对于炎性细胞的抑制能力较低<sup>[14]</sup>。Th17 分泌 IL-17A 等细胞因子介导组织炎症反应<sup>[15]</sup>。Treg 可分泌 IL-10 等细胞因子,并维持外周免疫耐受<sup>[11]</sup>。本研究发现 ATRA 可抑制促炎细胞因子 TNF-α、IL-17A 和 IFN-γ 的分泌( $P < 0.05$ ),并促进 IL-4 表达( $P < 0.05$ ),但上调 IL-10 的作用无统计学意义( $P > 0.05$ )。这提示在细胞因子水平上,ATRA 有纠正 CIA 大鼠 Th1/Th2 及 Th17/Treg 失衡的作用,与 KOWK 等<sup>[2]</sup>的结果类似。

滑膜炎和骨质破坏是 RA 病程中的中心环节。体外软骨培养实验结果显示,在软骨基质蛋白聚糖丢失过程中,ADAMTS 率先发挥酶解蛋白聚糖的作用,MMPs 则辅助 ADAMTS 的酶解作用<sup>[16]</sup>。其中,ADAMTS-4 在软骨受损时开始酶解细胞外基质中的蛋白聚糖,MMPs 发挥作用酶解胶原蛋白,导致软骨破坏。本研究中,ADAMTS-4 的蛋白表达水平在 CIA 模型组上调( $P < 0.05$ ),经 ATRA 干预处理后,其表达水平下调( $P < 0.05$ )。MMPs 家族中,MMP1 和 MMP3 表达量与 RA 病理损伤程度呈正相关,而 MMPs 对应的负调节剂 TIMP-1 增加甚少,出现 MMPs/TIMPs 的失衡<sup>[15]</sup>。本研究结果显示,ATRA 能够下调 CIA 大鼠受累关节软骨中 MMP1 及 MMP3 的表达( $P < 0.05$ ),但对 TIMP-1 表达的影响无统计学意义( $P > 0.05$ )。这表明 ATRA 对 MMPs/TIMPs 失衡有一定的纠正作用。

综上所述,本研究建立大鼠 CIA 模型,经 ATRA 干预 6 周后,关节炎症状未得到明显缓解,但 ATRA 0.50 mg/kg 组膝关节组织的病理损伤有所减轻。ATRA 在血清水平上对 Th1/Th2 及 Th17/Treg 失衡有纠正作用,且能够抑制软骨损伤相关蛋白的表达。ATRA 干预可能成为治疗 RA

或者其他自身免疫性疾病的辅助手段。

## 参 考 文 献

- [1] DOUGADOS M, LEPORHO MA, ESMILAIRE L, et al. Plasma levels of vitamins A and E in hyperostosis, ankylosing spondylarthritis and rheumatoid polyarthritis. Rev Rhum Mal Osteoartic, 1988, 55(4): 251.
- [2] KWOK SK, PARK MK, CHO ML, et al. Retinoic acid attenuates rheumatoid inflammation in mice. J Immunol, 2012, 189(2): 1062-1071.
- [3] IWATA M, ESHIMA Y, KAGECHIKA H. Retinoic acids exert direct effects on T cells to suppress Th1 development and enhance Th2 development via retinoic acid receptors. Int Immunol, 2003, 15(8): 1017-1025.
- [4] XIAO S, JIN H, KORN T, et al. Retinoic acid increases Foxp3+ regulatory T cells and inhibits development of Th17 cells by enhancing TGF-beta-driven Smad3 signaling and inhibiting IL-6 and IL-23 receptor expression. J Immunol, 2008, 181(4): 2277-2284.
- [5] 赵宏艳,王燕,肖诚,等.不同品系、不同性别对大鼠 CIA 发病情况的比较研究.中国中医基础医学杂志,2010(9):761-764.
- [6] XIE X, MU L, YAO X, et al. ATRA alters humoral responses associated with amelioration of EAMG symptoms by balancing Tfh/Tfr helper cell profiles. Clin Immunol, 2013, 148(2): 162-176.
- [7] 王岩艳.Ⅱ型胶原诱导的大鼠关节炎动物模型的研究.成都:四川大学,2006:16-19.
- [8] ROTH A, MOLLENHAUER J, WAGNER A, et al. Intra-articular injections of high-molecular-weight hyaluronic acid have biphasic effects on joint inflammation and destruction in rat antigen-induced arthritis. Arthritis Res Ther, 2005, 7(3): R677-R686.
- [9] 朱蕾,魏伟,郑咏秋.白芍总苷对胶原性关节炎大鼠滑膜细胞的作用及机制.药学学报,2006,41(2):166-170.
- [10] FALGARONE G, SEMERANO L, RULLÉ S, et al. Targeting lymphocyte activation to treat rheumatoid arthritis. Joint Bone Spine, 2009, 76(4): 327-332.
- [11] ZHU J, YAMANE H, PAUL WE. Differentiation of Effector CD4 Cell Populations. Annu Rev Immunol, 2010(28):445-489.
- [12] DAWSON HD, COLLINS G, PYLE R, et al. Direct and indirect effects of retinoic acid on human Th2 cytokine and chemokine expression by human T lymphocytes. BMC Immunol, 2006, 7(1): 1-15.
- [13] HIROTA K, HASHIMOTO M, YOSHITOMI H, et al. T cell self-reactivity forms a cytokine milieu for spontaneous development of IL-17+ Th cells that cause autoimmune arthritis. J Exp Med, 2007, 204(1): 41-47.
- [14] FLORES-BORJA F, JURY EC, MAURIC C, et al. Defects in CTLA-4 are associated with abnormal regulatory T cell function in rheumatoid arthritis. Proc Natl Acad Sci U S A, 2008, 105(49): 19396-19401.
- [15] HUBER M, HEINK S, GROTHÉ H, et al. A Th17-like developmental process leads to CD8+ Tc17 cells with reduced cytotoxic activity. Eur J Immunol, 2009, 39(7): 1716-1725.
- [16] LITTLE CB, HUGHES CE, CURTIS CL, et al. Matrix metalloproteinases are involved in C-terminal and interglobular domain processing of cartilage aggrecan in late stage cartilage degradation. Matrix Biol, 2002, 21(3): 271-288.

(2015-12-17 收稿,2016-03-09 修回)

编辑 汤洁